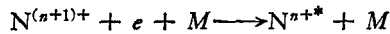


图1 NII 648.2毫微米激光输出与工作气压的关系

图1为以纯氮为工作物质时,激光新谱线NII 648.2毫微米激光的输出强度与工作气压的关系.纯氮气的工作气压在 10^{-3} 托量级.随工作气压下降,输出增强,在 3×10^{-3} 托附近趋于饱和.拍摄了放电电流脉冲及NII 648.2毫微米激光新谱线的输出脉冲波形,如图2所示.激光新谱线的脉宽约30微秒,与NII 567.9毫微米已知激光谱线脉宽是一致的,比电流脉宽7微秒大得多.激光输出在放电起始约10微秒后达到峰值,因此,它们都是在放电余辉中产生的激光,即复合激光.

等离子体复合激光作用可用下式表示为



对本文得到的5条新氮离子激光谱线, $n=1$.因此,放电电流数值的合适控制,对能否得到本文的结果是极为重要的.实验证明,本文采用的脉冲放电回路中,串入一定数值的电感来改变放电脉宽及峰值电流的技术是有效的.它也

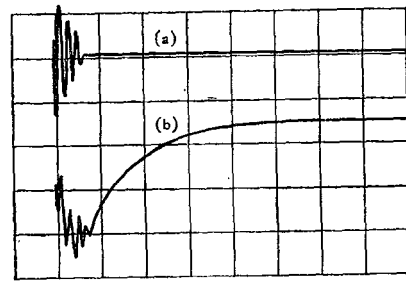


图2 放电脉冲及NII 648.2毫微米激光输出脉冲波形图
(a)为电流脉冲波形.纵坐标为放电电流相对值(示波器标度5伏/格),横坐标为20微秒/格;
(b)为NII 648.2毫微米激光输出波形.纵坐标为激光输出相对值(示波器标度0.5伏/格),横坐标为20微秒/格

可用于对其它新激光工作物质和激光谱线的探索.

参 考 文 献

- [1] R. A. McFarlane, *Appl. Phys. Lett.*, 5 (1964), 91.
- [2] H. G. Heard and J. Peterson, *Proc. IEEE*, 52 (1964), 1050.
- [3] P. K. Cheo and H. G. Coper, *J. Appl. Phys.*, 36 (1965), 1862.
- [4] M. S. Chiu and C. C. Chou, *IEEE J. Quantum Electron.*, QE-17, (1981), 1592.
- [5] C. E. Moore Atomic Energy Levels, Nat. Bur. Stand. (U. S.), Vol. I (1971), 35—40.
- [6] K. E. Moore A Multiplet Table of Astrophysical Interest, Nat. Bur. Stand. (U. S.), (1959), 8—9.
- [7] W. R. Bennett et al., *Appl. Phys. Lett.*, 4 (1964), 180.

碱金属s-电子的热质量

金光星 姜文植

(延边大学物理系)

一、引 言

金属中电子-电子相互作用与电子-声子相互作用所引起的多体效应的理论工作已有进展. D. F. Dubols^[1]曾详细讨论凝聚电子气体

的相互作用效应,但只有 $r_s^{(1)} < 2$ 的情况才合理收敛. T. M. Rice^[2]等曾讨论中间密度($1 < r_s < 4$)电子气体的相关问题及有效质

1) r_s 是电子平均所占球半径,以 $\frac{\hbar^2}{mc^2}$ 为单位.

量,但对金属密度情况来讲,也不能令人满意. J. G. Fletcher^[3]等曾讨论金属电子密度情况的一些性质. 志水正男^[4]等根据 Fletcher 的讨论结果,讨论了碱金属 s -电子的晶格有效质量,结果较好.

本文在 Fletcher 讨论的基础上,进一步用格林函数的微扰论考虑了电子-声子相互作用,并计算了 s -电子的热质量.

二、一个有效电子的能量

当我们不考虑电子-声子相互作用时,在金属晶格中相互作用电子气体的单电子能量可写成^[4]

$$\epsilon(\mathbf{K}) = \epsilon_L + \epsilon_{ex} + \epsilon_{corr,a}^{s,r} + \epsilon_{corr,p}^{s,r} + [\text{长程项}],$$

式中 ϵ_L 表示包括晶格对电子影响的动能; ϵ_{ex} 表示被屏蔽的短程交换相互作用能; $\epsilon_{corr,a}^{s,r}$ 表示自旋反平行电子之间的短程相关能; $\epsilon_{corr,p}^{s,r}$ 表示自旋平行电子之间的短程相关能. 因为电子-电子相互作用的长程部分表现为 Plasma 运动,而它常温下才可激化,所以在我们所考虑的低温下不必考虑. 另外,在短程部分,因为我们讨论金属密度情况, $r_s > 2$, 所以 $\epsilon_{corr,a}^{s,r} \gg \epsilon_{corr,p}^{s,r}$, 于是单电子能量可写为

$$\epsilon(\mathbf{K}) = \epsilon_L + \epsilon_{ex} + \epsilon_{corr,a}^{s,r}, \quad (1)$$

式中 $\epsilon_L^{[6]}$ 为

$$\epsilon_L = \epsilon_s(K_F) + (K - K_F) \left(\frac{\partial \epsilon_s}{\partial K} \right)_{K_F} = \frac{\hbar^2 K^2}{2m_L}, \quad (2)$$

其中 s 表示球形近似, m_L 表示“晶格有效质量”,即电子在金属晶格势场中的有效质量.

$$\epsilon_{ex} = -\frac{e^2 K_F}{2\pi} \left[1 + \frac{K_F^2 - K^2}{KK_F} \ln \left(\frac{K + K_F}{\beta_c} \right) + \frac{3K^2 - K_F^2}{2KK_F} - 2\beta_c + \frac{\beta_c^2 K_F}{2K} \right], \quad (3)$$

其中 K_F 表示 Fermi 波矢, $\beta_c = K_c/K_F$, K_c 为电子的最大集团振荡波矢¹⁾.

$$\epsilon_{corr,a}^{s,r} = -\frac{1}{2\pi^4} \int_{p>\beta_c} \frac{d^3 p}{p^4} \int d^3 q$$

$$\cdot \frac{f_q(1-f_{q-p})(1-f_{K+p})}{K_F \cdot \left(\frac{K}{K_F} - \frac{q}{K_F} - \frac{p}{K_F} \right)} + \frac{1}{2\pi^4} \int_{p>\beta_c} \frac{d^3 p}{p^4} \cdot \int d^3 q \frac{f_q f_{K-p}(1-f_{q-p})}{K_F \cdot \left(\frac{K}{K} - \frac{q}{K_F} \right)}, \quad (4)$$

式中 $f_K = 1$, $K \leq 1$; $f_K = 0$, $K \geq 1$; 波矢以 K_F 为单位,能量以 Rydberg 为单位.

下面引进量子化的晶格振动,考虑电子-声子相互作用,求出波矢为 \mathbf{K} 的一个有效电子的能量. 因为我们讨论 Fermi 面上的电子,所以可用准粒子的概念,这个准粒子是质量为 $m_{L,s}$ 的,遵循 Fermi-Dirac 统计的自由粒子. 此准粒子与声子相互作用所引起的碱金属 s -电子的能量变化可用电子-声子相互作用自能 Σ_{e-p} 来表示. 这个自由粒子的 Hamilton 为 $H = H_0 + H_{e-p}$, 其中 H_{e-p} 表示电子-声子相互作用的微扰项,而用场论方法^[5]可把它表示成

$$H_{e-p} = \frac{1}{\sqrt{V}} \sum_{\mathbf{K}} \sum_{\mathbf{p}} \sum_{\sigma} \left(\frac{i2\epsilon_p}{3} \right) \left(\frac{\hbar q}{2m_1 n_1 v_1} \right)^{1/2} \cdot a_{\mathbf{K}+\mathbf{q},\sigma}^{\dagger} [b_{\mathbf{q}}^{\dagger} + b_{-\mathbf{q}}], \quad (5)$$

式中 m_1 表示离子的质量; n_1 表示离子数密度; v_1 表示纵声子速度; $a_{\mathbf{K}}^{\dagger}$, $a_{\mathbf{K}}$ 分别表示电子的产生算符与消灭算符; 类似的 b 表示声子的算符. 我们根据 Green 函数的微扰论,经过计算可得二级近似的自能^[9],其结果

$$\Sigma_{e-p} = \sum_{\mathbf{K}} (i\omega_{l_1}) = -\frac{1}{\beta V} \sum_{\mathbf{p}} \sum_{\mathbf{q}} \sum_{l_1} \frac{\left| \frac{i2\epsilon_p}{3} \left(\frac{\hbar q}{2m_1 n_1 v_1} \right)^{1/2} \right|^2}{i\omega_{l_1} - \epsilon_p} \times \left[\frac{1}{\omega_{\mathbf{q}} + i(\omega_{l_1} - \omega_{l_2})} + \frac{1}{\omega_{\mathbf{q}} - i(\omega_{l_1} - \omega_{l_2})} \right], \quad (6)$$

式中 $1/(i\omega_{l_2} - \epsilon_p)$ 表示准粒子线,而其余因子表示声子线. 下面用积分代替(6)式中对 l_2 的求和,再经过计算留数而得

$$\sum_{\mathbf{K}} (i\omega_{l_1}) = \frac{1}{V} \sum_{\mathbf{p}} \sum_{\mathbf{q}} \left| \frac{i2\epsilon_p}{3} \left(\frac{\hbar q}{2m_1 n_1 v_1} \right)^{1/2} \right|^2$$

1) K_c —the maximum collective oscillation wave vector.

$$\times \left[\frac{f_p + N_q}{i\omega_1 - \varepsilon_p + \omega_q} + \frac{1 - f_p + N_q}{i\omega_1 - \varepsilon_p - \omega_q} \right] \delta(\mathbf{K}, \mathbf{p} + \mathbf{q}), \quad (7)$$

式中 $f_p = f_{\mathbf{K}-\mathbf{q}}$ 是准粒子的分布函数; N_q 为声子的分布函数, 即 $N_q = \langle b_q^\dagger b_q \rangle$; $\varepsilon_p = \varepsilon_{\mathbf{K}-\mathbf{q}} - \varepsilon_p$, 其中

$$\varepsilon_{\mathbf{K}-\mathbf{q}} = \frac{\hbar^2(\mathbf{K}-\mathbf{q})^2}{2m_{L,e}}$$

在低温下可令 $N_q \approx 0$. 如取 $i\omega_1 \rightarrow X$ (实数), 通过解析延拓得到

$$\begin{aligned} \Sigma_{\mathbf{K}}(X) &= \frac{1}{V} \sum_{\mathbf{q}} \left| \frac{i2e_F}{3} \left(\frac{\hbar q}{2m_1 n_1 v_1} \right)^{1/2} \right|^2 \\ &\times \left[\frac{f(\varepsilon_{\mathbf{K}-\mathbf{q}})}{X - \varepsilon_{\mathbf{K}-\mathbf{q}} + \omega_q} + \frac{1 - f(\varepsilon_{\mathbf{K}-\mathbf{q}})}{X - \varepsilon_{\mathbf{K}-\mathbf{q}} - \omega_q} \right], \end{aligned} \quad (8)$$

经过计算可得

$$\Sigma_{\mathbf{K}}(X) = -\frac{e_F}{3m_1 v_1} \left(\frac{n_e}{n_1} \right) \left(\frac{q_m}{2K_F} \right)^2 \left(\frac{1}{v_1} - \frac{1}{v_F} \right) X, \quad (9)$$

其中 v_F 是电子的 Fermi 速度, q_m 是 Debye 截断波矢, n_e 是电子数浓度, 令

$$\eta = \frac{e_F}{3m_1 v_1} \left(\frac{n_e}{n_1} \right) \left(\frac{q_m}{2K_F} \right)^2 \left(\frac{1}{v_1} - \frac{1}{v_F} \right), \quad (10)$$

它表示电子-声子相互作用参数.

单电子的能量可由单电子 Green 函数的极点的实部给出, 所以由下面的方程确定

$$E_{\mathbf{K}} - \varepsilon_{\mathbf{K}} - \Sigma_{\mathbf{K}} = 0, \quad X = E_{\mathbf{K}} - \varepsilon_F. \quad (11)$$

由 (9), (10), (11) 式得, 自能

$$\begin{aligned} \Sigma_{e-p} &= -\frac{1}{1+\eta} [\varepsilon_L + \varepsilon_{ex} + \varepsilon_{corr,a}^i] \\ &\quad - \frac{1}{1+\eta} \varepsilon_F, \end{aligned} \quad (12)$$

于是碱金属中一个有效电子的能量可写为

$$E_{\mathbf{K}} = \varepsilon_L + \varepsilon_{ex} + \varepsilon_{corr,a}^i + \Sigma_{e-p}. \quad (13)$$

三、s-电子的热质量

我们根据 (13) 式可得 s-电子在 Fermi 面上的有效质量——热质量 m_t . 为了求得热质量的表达式, 对 (13) 式取 K 的导数, 并取 $K=1$, 就可得热质量 m_t 的倒数, 即

$$\frac{1}{m_t} = \frac{1}{m_L} + \frac{1}{m_{ex}} + \frac{1}{m_{corr}} + \frac{1}{m_{e-p}}, \quad (14)$$

式中 $\frac{1}{m_L}$ 取 Ham^[6] 的计算结果,

$$\frac{1}{m_L} = 2(E_2 + 2E_4), \quad (15)$$

其中 E_2 与 E_4 是能量对 K 的展开系数. 后三项分别等于

$$\frac{1}{m_{ex}} = \frac{1}{\pi} \left[\ln \frac{2}{\beta_c} + \frac{\beta_c^2}{4} - 1 \right], \quad (16)$$

$$\begin{aligned} \frac{1}{m_{corr}} &= \frac{1}{\pi^2} \left\{ \left[\frac{5}{3} \ln 2 - 2 - \frac{4}{3} \ln \beta_c - \frac{4}{3\beta_c^2} \right. \right. \\ &\quad \left. \left. - \frac{4}{3\beta_c^2} \ln 2 \right] + \left[\frac{\beta_c}{12} + \frac{2}{3} + \frac{3}{2\beta_c} \right. \right. \\ &\quad \left. \left. + \frac{2}{3\beta_c^2} - \frac{2}{3\beta_c^3} \right] \ln(2 + \beta_c) \right. \\ &\quad \left. + \left[-\frac{\beta_c}{12} + \frac{2}{3} - \frac{3}{2\beta_c} + \frac{2}{3\beta_c^2} \right. \right. \\ &\quad \left. \left. + \frac{2}{3\beta_c^3} \right] \ln(2 - \beta_c) \right\}, \end{aligned} \quad (17)$$

$$\begin{aligned} \frac{1}{m_{e-p}} &= -\frac{1}{1+\eta} \left\{ 2[E_2 + 2E_4] + \frac{1}{\pi} \left[\ln \frac{2}{\beta_c} \right. \right. \\ &\quad \left. \left. + \frac{\beta_c^2}{4} - 1 \right] + \frac{1}{\pi^2} \left[\frac{5}{3} \ln 2 - 2 \right. \right. \\ &\quad \left. \left. - \frac{4}{3} \ln \beta_c - \frac{4}{3\beta_c^2} - \frac{4}{3\beta_c^2} \ln 2 \right] + \frac{1}{\pi^2} \left[\frac{\beta_c}{12} \right. \right. \\ &\quad \left. \left. + \frac{3}{3\beta_c} + \frac{2}{3} + \frac{2}{3\beta_c^2} - \frac{2}{3\beta_c^3} \right] \right. \\ &\quad \left. \cdot \ln(2 + \beta_c) + \frac{1}{\pi^2} \left[-\frac{\beta_c}{12} + \frac{2}{3} \right. \right. \\ &\quad \left. \left. - \frac{3}{2\beta_c} + \frac{2}{3\beta_c^2} + \frac{2}{3\beta_c^3} \right] \ln(2 - \beta_c) \right\}, \end{aligned} \quad (18)$$

上式中 $\beta_c = \gamma r^{1/2}$, r 的值如表 1 所示.

我们用以上的结果, 可以讨论碱金属中诸相互作用对 s-电子热质量的影响.

四、计算结果

我们用 (15)–(18) 式可计算 s-电子的热质量, 也可以观察电子-声子相互作用等对热质量的贡献. 在表示式中, 电子-声子相互作用参 (下转第 634 页)